

I - 4 有限帯板法による曲線橋の温度応力解析とその応力特性について

北海道大学 正員 芳村 仁
 北海道大学 正員 菲沢 憲吉
 運輸省〇正員 江河 直人

1. まえがき 橋各部分の温度変化は応力を発生させるなどするため、橋の設計等において検討しなければならない問題である。本報告では、直線一室箱桁橋と曲線一室箱桁橋(単絶橋)の温度変形と温度応力の解析に有限帯板法を適用して、両者に対する温度の影響を比較してみたものである。

2. 解析方法 解析にあたって、変形、温度分布は橋軸方向にフーリエ級数展開できるものとし、橋軸方向両端部は単純支持されているものとする。また変形は微小であり、材料は等方、等質性を有するものとする。

(1) 長方形板要素について

図-1に示すように 橋軸直角方向(x方向)変位をu, 橋軸方向(y方向)変位をv, 板厚方向変位をwとして、次式のように仮定する。

$$\left. \begin{aligned} u &= \sum_{m=1}^n \left[\left(1 - \frac{x}{d}\right) u_{im} + \frac{x}{d} u_{jm} \right] \sin \frac{m\pi y}{d} \\ v &= \sum_{m=1}^n \left[\left(1 - \frac{x}{d}\right) v_{im} + \frac{x}{d} v_{jm} \right] \cos \frac{m\pi y}{d} \\ w &= \sum_{m=1}^n \left[\left(1 - \frac{3x^2}{d^2} + \frac{2x^3}{d^3}\right) w_{im} + \left(x - \frac{2x^2}{d} + \frac{2x^3}{d^2}\right) w_{im} \right. \\ &\quad \left. + \left(\frac{3x^2}{d^2} - \frac{2x^3}{d^3}\right) w_{jm} + \left(\frac{x^3}{d^3} - \frac{x^2}{d^2}\right) w_{jm} \right] \sin \frac{m\pi y}{d} \end{aligned} \right\} (1)$$

面内ひずみを $\epsilon_x, \epsilon_y, \epsilon_{xy}$, 面外ひずみを $\chi_x, \chi_y, \chi_{xy}$ で表わすと、ひずみ-変位関係式は次式で与えられる。

$$\begin{aligned} \epsilon_x &= \frac{\partial u}{\partial x}, \quad \epsilon_y = \frac{\partial v}{\partial y}, \quad \epsilon_{xy} = \frac{\partial v}{\partial x} + \frac{\partial u}{\partial y} \\ \chi_x &= \frac{\partial^2 w}{\partial x^2}, \quad \chi_y = \frac{\partial^2 w}{\partial y^2}, \quad \chi_{xy} = 2 \frac{\partial^2 w}{\partial x \partial y} \end{aligned}$$

ここで $\mathbf{e} = \{ \epsilon_x, \epsilon_y, \epsilon_{xy}, -\chi_x, -\chi_y, \chi_{xy} \}^T$ (2) として これに(1)式を代入すると

$$\mathbf{e} = \sum_{m=1}^n \mathbf{e}_m = \sum_{m=1}^n \mathbf{B}_m \cdot \mathbf{d}_m \quad (3)$$

ここに $\mathbf{d}_m = [u_{im} \quad v_{im} \quad w_{im} \quad v_{jm} \quad u_{jm} \quad w_{jm}]^T$
 \mathbf{B}_m はひずみマトリクス

応力を $\sigma_x, \sigma_y, \sigma_{xy}$ として応力-ひずみ関係式は次式で示される。

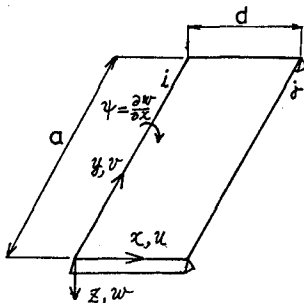


図-1 長方形板要素

※

$$\begin{Bmatrix} \sigma_x \\ \sigma_y \\ \sigma_{xy} \end{Bmatrix} = \begin{bmatrix} E_{xx} & E_{xy} & 0 \\ E_{xy} & E_{yy} & 0 \\ 0 & 0 & G \end{bmatrix} \begin{Bmatrix} (\epsilon_x - \alpha T) - \alpha T \\ (\epsilon_y - \alpha T) - \alpha T \\ \epsilon_{xy} + \alpha \chi_{xy} \end{Bmatrix} \quad (4)$$

ここに $E_{xx} = E_{yy} = \frac{E}{1-\mu^2}$, $E_{xy} = \frac{\mu E}{1-\mu^2}$, $G = \frac{E}{2(1+\mu)}$
 T は無ひずみ無応力状態からの温度変化

E は弾性係数, μ はポアソン比, α は熱膨張係数
 断面力は (4) 式より 板厚方向の積分をして

$$\begin{Bmatrix} N_x \\ N_y \\ N_{xy} \\ M_x \\ M_y \\ M_{xy} \end{Bmatrix} = \begin{bmatrix} K & K_1 & 0 & 0 & 0 & 0 \\ K_1 & K & 0 & 0 & 0 & 0 \\ 0 & 0 & \frac{1}{2}K & 0 & 0 & 0 \\ 0 & 0 & 0 & D & D_1 & 0 \\ 0 & 0 & 0 & D_1 & D & 0 \\ 0 & 0 & 0 & 0 & 0 & \frac{1}{2}D \end{bmatrix} \begin{Bmatrix} \epsilon_x \\ \epsilon_y \\ \epsilon_{xy} \\ -\chi_x \\ -\chi_y \\ \chi_{xy} \end{Bmatrix} \begin{Bmatrix} \alpha N_T \\ \alpha N_T \\ 0 \\ \alpha M_T \\ \alpha M_T \\ 0 \end{Bmatrix} \quad (5)$$

ここに h は板厚

$$K = \frac{Eh}{1-\mu^2}, \quad K_1 = \mu K, \quad D = \frac{Eh^3}{12(1-\mu^2)}, \quad D_1 = \mu D$$

$$N_T = \frac{1}{d} \int_{-d/2}^{d/2} \sigma_x dz = \sum_{m=1}^n N_{Tm} \sin \frac{m\pi y}{d} \quad (6)$$

$$M_T = \frac{12}{d^3} \int_{-d/2}^{d/2} \sigma_x z dz = \sum_{m=1}^n M_{Tm} \sin \frac{m\pi y}{d} \quad (7)$$

$$\mathbf{a} = \{ N_x \quad N_y \quad N_{xy} \quad M_x \quad M_y \quad M_{xy} \}^T \quad (8)$$

$$\mathbf{e}_T = \{ \alpha N_T \quad \alpha N_T \quad 0 \quad \alpha M_T \quad \alpha M_T \quad 0 \}^T \quad (9)$$

として (5) 式をマトリクス表示して

$$\mathbf{a} = \mathbf{D} \cdot (\mathbf{e} - \mathbf{e}_T) \quad (10)$$

要素の内力のポテンシャルエネルギー U は

$$U = \sum_{m=1}^n \left[\frac{1}{2} \mathbf{d}_m^T \int_0^d \mathbf{B}_m^T \cdot \mathbf{D} \cdot \mathbf{B}_m \, dx dy \cdot \mathbf{d}_m - \mathbf{d}_m^T \int_0^d \mathbf{B}_m^T \cdot \mathbf{D} \cdot \mathbf{e}_T \, dx dy + \frac{1}{2} \int_0^d \mathbf{C}(T) \, dx dy \right] \quad (11)$$

ここで $\mathbf{C}(T)$ は T のみの関数である。

トータルポテンシャルエネルギー最小の原理より

$$\frac{\partial U}{\partial \mathbf{d}_m} = \int_0^d \mathbf{B}_m^T \cdot \mathbf{D} \cdot \mathbf{B}_m \, dx dy \cdot \mathbf{d}_m - \int_0^d \mathbf{B}_m^T \cdot \mathbf{D} \cdot \mathbf{e}_T \, dx dy = 0 \quad (12)$$

よって 剛性マトリクス \$K_m\$, 温度分布による等価節線

熱荷重 \$Q_{Tm}\$ は

$$K_m = \int_{r_0}^{r_1} \int_{\theta_0}^{\theta_1} B_m^T \cdot D \cdot B_m \, dxdy \quad (13)$$

$$Q_{Tm} = \int_{r_0}^{r_1} \int_{\theta_0}^{\theta_1} B_m \cdot D \cdot \epsilon_{Tm} \, dxdy \quad (14)$$

したがって長方形板要素の平衡方程式は

$$K_m \cdot d_m = Q_{Tm} \quad (15)$$

(□) 扇形板要素について

図-2のように 楕軸直角方向 (\$r\$ 方向) 変位を \$u\$, 楕軸方向 (\$\theta\$ 方向) 変位を \$v\$, 板厚方向変位を \$w\$ として, 次式のように仮定する.

$$\left. \begin{aligned} u &= \sum_{n=1}^n \left[\left(1 - \frac{R}{2}\right) u_{in} + \frac{R}{2} u_{jn} \right] \sin \frac{n\pi}{A} \theta \\ v &= \sum_{n=1}^n \left[\left(1 - \frac{R}{2}\right) v_{in} + \frac{R}{2} v_{jn} \right] \cos \frac{n\pi}{A} \theta \\ w &= \sum_{n=1}^n \left[\left(1 - \frac{3}{4}R^2 + \frac{1}{4}R^3\right) w_{in} + \theta(R - R^2 + \frac{3}{4}R^3) w_{jn} \right. \\ &\quad \left. + \left(\frac{3}{4}R^2 - \frac{1}{4}R^3\right) w_{jn} + \theta \left(\frac{1}{4}R^2 - \frac{1}{2}R^3\right) w_{jn} \sin \frac{n\pi}{A} \theta \right] \end{aligned} \right\} (16)$$

ここに \$R = \frac{r_1 - r_0}{r}\$, \$\theta = \frac{\theta_1 - \theta_0}{2}\$
面内ひずみを \$\epsilon_r, \epsilon_\theta, \epsilon_{r\theta}\$, 面外ひずみを \$\chi_r, \chi_\theta, \chi_{r\theta}\$ として, ひずみ-変位関係式は次式で示される.

$$\left. \begin{aligned} \epsilon_r &= \frac{\partial u}{\partial r}, \quad \epsilon_\theta = \frac{1}{r} \frac{\partial v}{\partial \theta} + \frac{u}{r}, \quad \epsilon_{r\theta} = \frac{1}{r} \frac{\partial u}{\partial \theta} + \frac{\partial v}{\partial r} - \frac{v}{r} \\ \chi_r &= \frac{\partial^2 w}{\partial r^2}, \quad \chi_\theta = \frac{1}{r} \left(\frac{\partial^2 w}{\partial \theta^2} + \frac{\partial w}{\partial r} \right), \quad \chi_{r\theta} = -\frac{2}{r} \left(\frac{\partial^2 w}{\partial r \partial \theta} - \frac{1}{r} \frac{\partial w}{\partial \theta} \right) \end{aligned} \right\} (17)$$

として (16) 式を代入して

$$e = \sum_{n=1}^n e_n = \sum_{n=1}^n B_n \cdot d_n \quad (18)$$

ここに \$d_n = \{ u_{in} \ v_{in} \ w_{in} \ u_{jn} \ v_{jn} \ w_{jn} \}^T\$
長方形板要素と同様に 応力-ひずみ関係式を用いて 断面力は

$$\begin{matrix} N_r \\ N_\theta \\ N_{r\theta} \\ M_r \\ M_\theta \\ M_{r\theta} \end{matrix} = \begin{bmatrix} K & K_1 & 0 & 0 & 0 & 0 \\ K_1 & K & 0 & 0 & 0 & 0 \\ 0 & 0 & \frac{1}{2}K & 0 & 0 & 0 \\ 0 & 0 & 0 & D & D_1 & 0 \\ 0 & 0 & 0 & D_1 & D & 0 \\ 0 & 0 & 0 & 0 & 0 & \frac{1}{2}D \end{bmatrix} \begin{bmatrix} \epsilon_r \\ \epsilon_\theta \\ \epsilon_{r\theta} \\ \chi_r \\ \chi_\theta \\ \chi_{r\theta} \end{bmatrix} = \begin{bmatrix} \alpha N_r \\ \alpha N_\theta \\ 0 \\ \alpha M_r \\ \alpha M_\theta \\ 0 \end{bmatrix} \quad (19)$$

ここに \$N_r = \frac{1}{A} \int_{\theta_0}^{\theta_1} T \, dz = \sum_{n=1}^n N_{Tn} \sin \frac{n\pi}{A} \theta\$,
\$M_r = \frac{1}{A} \int_{\theta_0}^{\theta_1} T z \, dz = \sum_{n=1}^n M_{Tn} \sin \frac{n\pi}{A} \theta\$
\$K, K_1, D, D_1, T, E, \mu, \alpha, \epsilon\$ などの記号は長方形板要素と同様である.

$$\alpha = \{ N_r, N_\theta, N_{r\theta}, M_r, M_\theta, M_{r\theta} \}^T \quad (20)$$

$$e_T = \{ \alpha N_r \ \alpha N_\theta \ 0 \ \alpha M_r \ \alpha M_\theta \ 0 \}^T \quad (21)$$

として (19) 式をマトリクス表示して

$$\alpha = D \cdot (e - e_T) \quad (22)$$

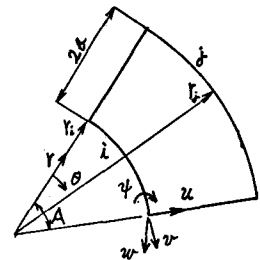


図-2 扇形板要素

* 要素のモット内力のポテンシャルエネルギーは

$$U = \sum_{n=1}^n \left[\frac{1}{2} d_n^T \int_{r_0}^{r_1} \int_{\theta_0}^{\theta_1} B_n^T \cdot D \cdot B_n \, r \, dr \, d\theta - d_n^T \int_{r_0}^{r_1} \int_{\theta_0}^{\theta_1} B_n^T \cdot D \cdot \epsilon_{Tn} \, r \, dr \, d\theta + \frac{1}{2} \int_{r_0}^{r_1} \int_{\theta_0}^{\theta_1} c(T) \, r \, dr \, d\theta \right] \quad (23)$$

トータルポテンシャルエネルギー-最小の原理より

$$\frac{\partial U}{\partial d_n} = \int_{r_0}^{r_1} \int_{\theta_0}^{\theta_1} B_n^T \cdot D \cdot B_n \, r \, dr \, d\theta \cdot d_n - \int_{r_0}^{r_1} \int_{\theta_0}^{\theta_1} B_n^T \cdot D \cdot \epsilon_{Tn} \, r \, dr \, d\theta = 0 \quad (24)$$

剛性マトリクス \$K_m\$, 温度分布による等価節線熱荷重

\$Q_{Tm}\$ は

$$K_m = \int_{r_0}^{r_1} \int_{\theta_0}^{\theta_1} B_m^T \cdot D \cdot B_m \, r \, dr \, d\theta \quad (25)$$

$$Q_{Tm} = \int_{r_0}^{r_1} \int_{\theta_0}^{\theta_1} B_m^T \cdot D \cdot \epsilon_{Tm} \, r \, dr \, d\theta \quad (26)$$

扇形板要素の平衡方程式は

$$K_m \cdot d_m = Q_{Tm} \quad (27)$$

以下 \$K_m\$ の内容を零以外の要素について示す.

$$K_m = \frac{A}{2} \begin{bmatrix} k_{11} & & & & & \\ & \text{Symmetric} & & & & \\ & & k_{22} & & & \\ & & & k_{33} & & \\ & & & & k_{44} & \\ & & & & & k_{55} \end{bmatrix} \quad (28)$$

$$\begin{aligned} k_{11} &= K(1 + k_1/b)/2 - K_1 + b(K + k_m^2 K_2)(I_0 - I_1 + \frac{1}{4}I_2) \\ k_{22} &= k_m(K_1 - K_2)/2 - b k_m(K + K_2)(I_0 - I_1 + \frac{1}{4}I_2) \\ k_{33} &= -K(1 + k_1/b)/2 + b(K + k_m^2 K_2)(I_1 - \frac{1}{2}I_2)/2 \\ k_{44} &= k_m(K_1 + K_2)/2 - b k_m(K + K_2)(I_1 - \frac{1}{2}I_2)/2 \\ k_{55} &= b(k_m^2 K + K_2)(I_0 - I_1 + \frac{1}{4}I_2) + k_2(3 + k_1/b)/2 \\ k_{12} &= -k_m(K_1 + K_2)/2 - b k_m(K + K_2)(I_1 - \frac{1}{2}I_2)/2 \\ k_{23} &= 3D(1 + k_1/b)/(2b) + 3k_m^2 D_1(I_0 - I_1 - \frac{3}{4}I_2 + \frac{1}{4}I_4)/b \\ &\quad + 9Y_1(I_2 - I_3 + \frac{1}{4}I_4)/(4b) + 3Y_2(J_1 - \frac{1}{2}J_2 - \frac{3}{4}J_3 + \frac{5}{8}J_4 - \frac{1}{8}J_5) + \\ &\quad bY_3(L_0 - \frac{3}{2}L_2 + \frac{1}{2}L_3 + \frac{1}{8}L_4 - \frac{3}{8}L_5 + \frac{1}{8}L_6) \\ k_{45} &= D(1 + 3Y_4/(2b))/b + k_m^2 D_1(2I_0 - \frac{9}{2}I_2 + \frac{7}{2}I_3 - \frac{3}{4}I_4) \\ &\quad + b^2 Y_6(L_1 - L_2 - \frac{1}{2}L_3 + L_4 - \frac{7}{8}L_5 + \frac{1}{8}L_6) + bY_2(-J_0 + 2J_1 + \frac{3}{2}J_2 - 4J_3 \\ &\quad + \frac{35}{8}J_4 - \frac{3}{8}J_5) + \frac{3}{2}Y_1(-I_1 + \frac{5}{2}I_2 - \frac{7}{4}I_3 + \frac{3}{8}I_4) \\ k_{15} &= -3D(1 + k_1/b)/(2b) - 3k_m^2 D_1(I_0 - I_1 - \frac{3}{2}I_2 + 2I_3 - \frac{1}{2}I_4)/(2b) \end{aligned}$$

$$\begin{aligned}
& + 9Y_1(-I_2+I_3-\frac{1}{4}I_4)/(4b) + 3Y_2(-J_1+\frac{1}{2}J_2+\frac{3}{2}J_3-\frac{5}{4}J_4+\frac{1}{4}J_5)/2 \\
& + bY_3(3L_2-L_3-\frac{1}{4}L_4+\frac{3}{2}L_5-\frac{1}{4}L_6)/4 \\
k_{33} &= D\{2+3Y_1/(2b)\}/b + k_m^2 D_1(I_0-\frac{3}{2}I_1-\frac{3}{2}I_2+\frac{5}{2}I_3-\frac{3}{4}I_4) \\
& + 3Y_1(I_2-\frac{1}{4}I_3+\frac{3}{8}I_4)/2 + bY_2(J_1-\frac{3}{4}J_2-\frac{3}{2}J_3+\frac{25}{8}J_4-\frac{3}{8}J_5) \\
& + b^2Y_3(-L_2+\frac{1}{2}L_3+\frac{3}{4}L_4-\frac{5}{8}L_5+\frac{1}{8}L_6)/2 \\
k_{44} &= D(1+2Y_1/b) + D_1[-1 + bk_m^2(4I_1-7I_2+4I_3-\frac{3}{4}I_4)] + \\
& bY_1(I_0-4I_1+\frac{1}{2}I_2-3I_3+\frac{7}{8}I_4) + 2b^2Y_2(-J_1+3J_2-3J_3+\frac{5}{4}J_4 \\
& -\frac{3}{8}J_5) + b^3Y_3(L_2-2L_3+\frac{3}{4}L_4-\frac{1}{2}L_5+\frac{1}{8}L_6) \\
k_{74} &= -D\{1+3Y_1/(2b)\}/b + k_m^2 D_1(-3I_1+9I_2-7I_3+\frac{3}{2}I_4)/2 + \\
& 3Y_1(I_1-\frac{1}{2}I_2+\frac{7}{4}I_3-\frac{3}{8}I_4)/2 + bY_2(-\frac{7}{4}J_2+4J_3-\frac{35}{8}J_4+\frac{3}{8}J_5) \\
& + b^2Y_3(\frac{3}{4}L_3-L_4+\frac{7}{8}L_5-\frac{1}{8}L_6) \\
k_{84} &= D(1+Y_1/b) + bk_m^2 D_1(I_1-\frac{7}{2}I_2+3I_3-\frac{3}{4}I_4) + bY_1(-I_1 + \\
& \frac{1}{4}I_2-\frac{9}{4}I_3+\frac{9}{8}I_4) + 3b^2Y_2(J_2-2J_3+\frac{5}{4}J_4-\frac{1}{4}J_5)/2 + \\
& -b^3Y_3(-L_3+\frac{3}{2}L_4-\frac{3}{4}L_5+\frac{1}{8}L_6)/2 \\
k_{55} &= K(1+Y_1/b)/2 + K_1 + b(K + k_m^2 K_2)I_2/4 \\
k_{65} &= k_m(K_1+K_2)/2 - b k_m(K + K_2)I_2/4 \\
k_{66} &= K_2(-1+Y_1/b)/2 + b(k_m K + K_2)I_2/4 \\
k_{77} &= 3D(1+Y_1/b)/(2b^2) + 3k_m^2 D_1(-3I_2+4I_3-I_4)/(4b) \\
& + 9Y_1(I_2-I_3+\frac{1}{4}I_4)/(4b) + 3Y_2(-3J_3+\frac{5}{2}J_4-\frac{1}{2}J_5)/4 \\
& + bY_3(9L_4-6L_5+L_6)/16 \\
k_{87} &= -D\{2+3Y_1/(2b)\}/b + k_m^2 D_1(3I_2-5I_3+\frac{3}{2}I_4)/2 \\
& + 3Y_1(-I_2+\frac{1}{4}I_3-\frac{3}{8}I_4)/2 + bY_2(3J_3-\frac{25}{8}J_4+\frac{3}{8}J_5)/2 \\
& + b^2Y_3(-3L_4+\frac{5}{2}L_5-\frac{1}{2}L_6)/8 \\
k_{88} &= D(3+2Y_1/b) + D_1\{1 + bk_m^2(-I_2+2I_3-\frac{3}{4}I_4)\} \\
& + bY_1(I_2-\frac{3}{2}I_3+\frac{9}{8}I_4) + b^2Y_2(-J_3+\frac{5}{4}J_4-\frac{3}{8}J_5) \\
& + b^3Y_3(L_4-L_5+\frac{1}{4}L_6)/4
\end{aligned}$$

ここで、 $k_m = \frac{m^2 A}{A}$, $Y_1 = D + 4k_m^2 D_2$, $Y_2 = k_m^2(D + 4D_2)$
 $Y_3 = k_m^2(k_m^2 D + 4D_2)$, $K_2 = \frac{1}{2} K$, $D_2 = \frac{1}{2} D$
 $I_0 \sim I_4$, $J_0 \sim J_5$, $L_0 \sim L_6$ は次の積分により得られる。
 $I_5 = \int_0^2 \frac{RS}{2R+H_2} dR$ ($S=0 \sim 4$), $J_5 = \int_0^2 \frac{RS}{(2R+H_2)^2} dR$ ($S=0 \sim 5$)
 $L_5 = \int_0^2 \frac{RS}{(2R+H_2)^3} dR$ ($S=0 \sim 6$)

(1) ウェブシエル要素について

図-3に示すような要素中が d , 中心角が A のウェブシエル要素を考え、橋軸下方向(S 方向)変位を u , 橋軸方向(θ 方向)変位を v , 板厚方向変位を w として次式のように仮定する。

$$\left. \begin{aligned}
u &= \sum_{m=1}^3 \left[(1-\frac{S}{d})u_m + (\frac{S}{d})u_m \right] \sin \frac{m\pi}{A} \theta \\
v &= \sum_{m=1}^3 \left[(1-\frac{S}{d})v_m + (\frac{S}{d})v_m \right] \cos \frac{m\pi}{A} \theta \\
w &= \sum_{m=1}^3 \left[(1-\frac{3S^2}{d^2} + \frac{2S^3}{d^3})w_m + (S-\frac{2S^2}{d} + \frac{S^3}{d^2})\gamma_m \right] \sin \frac{m\pi}{A} \theta
\end{aligned} \right\} (29)$$

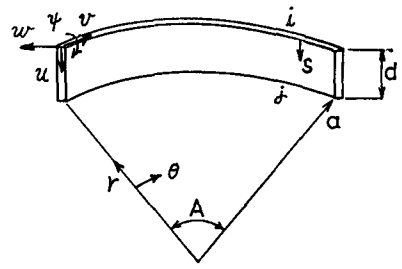


図-3 ウェブシエル要素

$+ (\frac{3S^2}{d^2} - \frac{2S^3}{d^3})w_m + (\frac{S^3}{d^2} - \frac{S^2}{d})\gamma_m \sin \frac{m\pi}{A} \theta$
 面内ひずみ $\epsilon_s, \epsilon_\theta, \epsilon_{s\theta}$, 面外ひずみ $\chi_s, \chi_\theta, \chi_{s\theta}$ は、

$$\begin{aligned}
\epsilon_s &= \frac{\partial u}{\partial S}, \quad \epsilon_\theta = \frac{1}{r} \frac{\partial v}{\partial \theta} + \frac{w}{r}, \quad \epsilon_{s\theta} = \frac{1}{r} \frac{\partial v}{\partial S} + \frac{\partial w}{\partial \theta} \\
\chi_s &= \frac{\partial^2 w}{\partial S^2}, \quad \chi_\theta = \frac{\partial^2 w}{\partial \theta^2} - \frac{1}{r} \frac{\partial^2 w}{\partial \theta^2}, \quad \chi_{s\theta} = 2(-\frac{\partial^2 w}{\partial S \partial \theta} + \frac{\partial^2 w}{\partial S^2}) \\
\mathbf{e} &= \{ \epsilon_s, \epsilon_\theta, \epsilon_{s\theta}, \chi_s, \chi_\theta, \chi_{s\theta} \}^T \quad (30)
\end{aligned}$$

として(29)式を代入すると

$$\mathbf{e} = \sum_{m=1}^3 \mathbf{e}_m = \sum_{m=1}^3 \mathbf{B}_m \cdot d_m \quad (31)$$

ここに $d_m = \{ u_m, v_m, w_m, \gamma_m, u_m, v_m, w_m, \gamma_m \}^T$
 前記2要素と同じように応力-ひずみ関係式を用いて断面力は次のようになる。

$$\mathbf{Q} = \mathbf{D} \cdot (\mathbf{e} - \mathbf{e}_T) \quad (32)$$

以下、前記2要素と同様にして剛性マトリクス K_m , 等価節線熱荷重 \mathbf{Q}_{Tm} が求まる。

$$K_m = \int_0^A \int_0^{2\pi} \mathbf{B}_m^T \cdot \mathbf{D} \cdot \mathbf{B}_m \, a \, d\theta \, dS \quad (33)$$

$$\mathbf{Q}_{Tm} = \int_0^A \int_0^{2\pi} \mathbf{B}_m^T \cdot \mathbf{D} \cdot \mathbf{e}_{Tm} \, a \, d\theta \, dS \quad (34)$$

ウェブシエル要素の平衡方程式は次式による。

$$K_m \cdot d_m = \mathbf{Q}_{Tm} \quad (35)$$

以下 K_m の内容を示す。

$$K_m = \frac{A}{2} a d \begin{bmatrix} k_{11} & & & & & & & & \\ & k_{22} & & & & & & & \\ & & k_{33} & & & & & & \\ & & & k_{44} & & & & & \\ & & & & k_{55} & & & & \\ & & & & & k_{66} & & & \\ & & & & & & k_{77} & & \\ & & & & & & & k_{88} & \\ & & & & & & & & k_{99} \end{bmatrix} \quad (36)$$

$$\begin{aligned}
k_{11} &= k_{33} = K/d^2 + k_m^2 K_2/(3a^2), \quad k_{21} = k_m(K_1 - K_2)/(2ad) \\
k_{22} &= -k_{21}, \quad k_{31} = k_{77} = -K_1/(2ad), \quad k_{33} = k_{77} = -k_{31} \\
k_{41} &= -K_1/(12a), \quad k_{41} = k_{54} = -k_{41}, \quad k_{45} = k_{41} \\
k_{51} &= k_m(K_1 + K_2)/(2ad), \quad k_{52} = -k_{61} \\
k_{55} &= -K/d^2 + k_m^2 K_2/(6a^2), \quad k_{62} = -dk_m K/(20a^2) - k_m D/(a^2 d) \\
&\quad - dk_m^2 D/(20a^4), \quad k_{66} = -k_{42}, \\
k_{72} &= k_{65} = k_m^2 K/(3a^2) + K_2/d^2 + k_m^2 D/(3a^4) + 4D_2/(a^2 d^2) \\
k_{77} &= k_{99} = -7k_m K/(20a^2) - k_m D/(a^2 d) - 7k_m^2 D/(20a^4) - 4k_m D_2/(a^2 d^2) \\
k_{82} &= k_m^2 K/(6a^2) - K_2/d^2 + k_m^2 D/(6a^4) - 4D_2/(a^2 d^2)
\end{aligned}$$

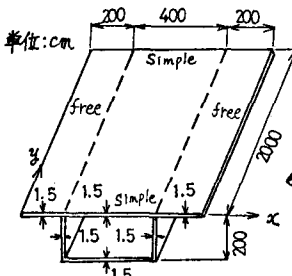


図-4

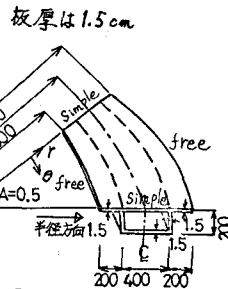


図-5

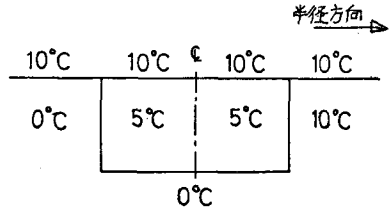


図-6

半径方向

$$\begin{aligned}
 k_{12} &= k_{13} = -3k_{11}K/(20a^2) + k_{11}D/(a^2d) - 3k_{12}D/(20a^2) + k_{12}D/(a^2d) \\
 k_{22} &= dk_{11}K/(30a^2) + dk_{12}^2D/(30a^2), \quad k_{14} = -k_{22} \\
 k_{23} &= k_{27} = 13K/(35a^2) + 12D/a^4 + 12k_{12}^2D/(35a^2) + 13k_{12}^4D/(35a^4) \\
 &\quad + 24k_{12}^2D_2/(5a^2d^2), \quad k_{28} = 11dK/(210a^2) + 6D/d^3 + 6k_{12}^2D_1/(5a^2d) \\
 &\quad + 11dk_{12}^4D/(210a^4) + 2k_{12}^2D_2/(5a^2d), \quad k_{27} = -k_{28} \\
 k_{33} &= 9K/(70a^2) - 12D/d^4 - 12k_{12}^2D_1/(5a^2d) + 9k_{12}^4D/(70a^4) - \\
 &\quad 24k_{12}^2D_2/(5a^2d^2), \quad k_{35} = -13dK/(420a^2) + 6D/d^3 + \\
 &\quad k_{12}^2D_1/(5a^2d) - 13dk_{12}^4D/(420a^4) + 2k_{12}^2D_2/(5a^2d) \\
 k_{44} &= k_{45} = d^4K/(405a^2) + 4D/d^3 + 4k_{12}^2D_1/(15a^2) + d^4k_{12}^4D/(405a^4) \\
 &\quad + 8k_{12}^2D_2/(15a^2d^2), \quad k_{46} = -d^4K/(40a^2) + 2D/d^3 - k_{12}^2D_1/(15a^2) \\
 &\quad - d^4k_{12}^4D/(140a^4) - 2k_{12}^2D_2/(15a^2d^2), \quad k_{44} = -k_{45}
 \end{aligned}$$

ここに $K = \frac{Eh}{1-\mu^2}$, $K_1 = \mu K$, $K_2 = \frac{1-\mu}{2}K$
 $D = \frac{Eh^3}{12(1-\mu^2)}$, $D_1 = \mu D$, $D_2 = \frac{1-\mu}{2}D$, $k_{12} = \frac{\pi r}{A}$

(二) 熱荷重について

温度分布は板厚方向に直線分布するものとする。

3. 解析例 解析例は 図-4, 図-5 に示す支間 20m の箱桁橋とし、橋軸方向両端部で単純支持されていて他辺は自由辺とする。温度分布は 図-6 のように考え橋軸方向には一定とした。材料定数としては $E = 2.1 \times 10^6 \text{ kg/cm}^2$, $\mu = 0.3$, $\alpha = 0.12 \times 10^{-4}$ 、分割は断面を 32 等分割して解析を行なった。図-7 は上から、それぞれ支間中央断面での面外変形、橋軸直角方向モーメント、橋軸方向面内断面力の分布を直線箱桁橋と曲線箱桁橋について示している。この場合両者と比較すると、面外変形、面外断面力に比べて、面内断面力にちがいがでている事がわかる。

4. あとがき 曲線橋の温度応力解析に有限帯板法を用い、種々の温度分布に対して適用可能な手法であることを示した。計算には北海道大学大型計算機センターの FACOM 230-75 を使用した。

参考文献 1) Y.K. Cheung, *Finite Strip Method in Structural Analysis*, Pergamon Press 1976
 2) 三上隆他: 弾性基礎上の円筒形タンクの非軸対称温度応力について 道支部論文報告集 第34号 535年

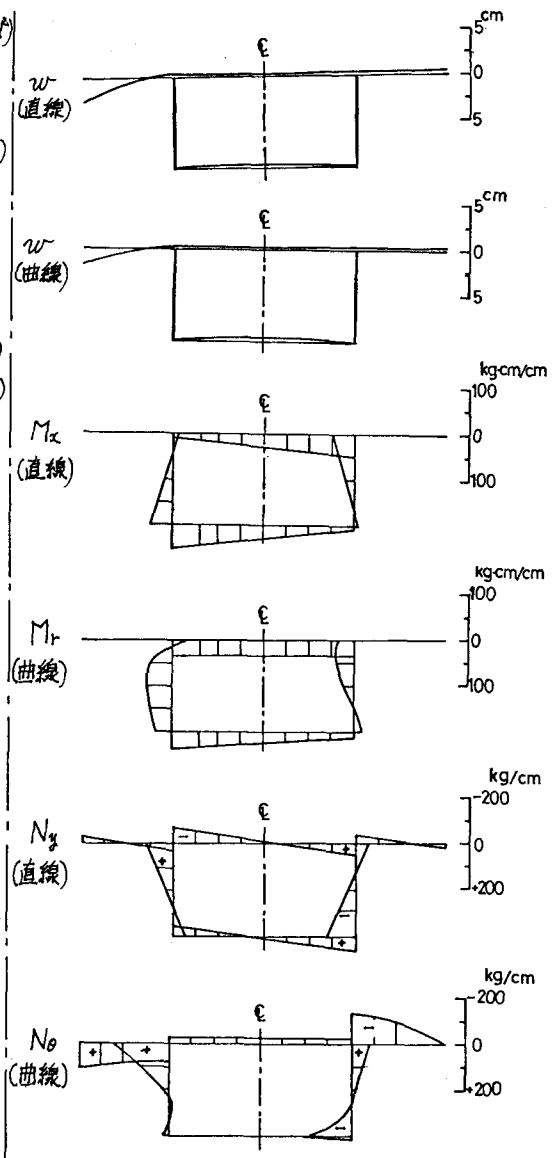


図-7